

# 軽症頭部外傷例における MRI 上の intracerebral traumatic lesionについて

高橋州平、中川原譲二、武田利兵衛、嶋崎光哲  
小林康雄、伊東民雄、佐土根朗、高梨正美  
中村順一、末松克美\*

## MR-Imaging for Intracerebral Traumatic Lesion in minor Head-injured Patients

Shuhei TAKAHASHI, Jyoji NAKAGAWARA, Rihei TAKEDA, Mitsunori SHIMAZAKI,  
Yasuo KOBAYASHI, Tamio ITOH, Akira SATONE, Masami TAKANASHI,  
Jun-ichi NAKAMURA and Katsumi SUEMATSU \*

Department of Neurosurgery, Nakamura Memorial Hospital, Sapporo, Japan and  
\*Hokkaido Brain Research Foundation, Sapporo, Japan.

**Summary :** The sensitivity of MRI for intracerebral traumatic lesions was compared with CT findings in 154 minor head-injured patients. The severity of head injury determined by the Glasgow Coma Scale was ranged from 9 to 15. CT and MRI were performed within 72 hours after injury in all patients. MRI was taken with a 0.15Tesla Sanyo SNR-15P. Pulse sequences included spin-echo sequence with TR 500 or 600 msec and TE 40 msec for a T 1 weighted image and spin-echo sequence with TR 2000 msec and TE 80 msec for a T 2 weighted image. Intracranial traumatic lesions were detected in 34 (22.1%) of 154 patients by both CT and MRI, 20 (13.0%) by MRI alone, and 4 (2.6%) by CT alone. In these patients with traumatic lesions, 92 lesions were seen by CT and 128 by MRI. Thirty-nine (50.6%) of 77 intracerebral traumatic lesions detected by MRI (T 2 WI) were not demonstrated by CT. There was no intracerebral traumatic lesion detected by CT alone. MRI (T 2 WI) was superior to CT for detecting intracerebral traumatic lesions, but MRI was equal to CT for detecting extracerebral lesions such as subarachnoid hemorrhage. T 2 weighted image is especially effective for evaluating acute stage of mild head trauma, and recommended for detecting intracerebral traumatic lesions. MRI (T 1 and T 2 weighted image) is much more useful than CT for studying pathological change of brain following head injury such as contusion, cerebral edema, intracerebral hemorrhage and shearing injury.

### Key words:

- head trauma
- intracerebral traumatic lesion
- MRI
- T 2 weighted image

### 目的

脳血管障害、脳腫瘍、脳奇形などの頭蓋内疾患に対するMRIの有用性についてはこれまで多数の報

告<sup>1)4)5)19)23)25)26)</sup>がみられるが、近年、頭部外傷においてもその有用性が報告されている<sup>8)10)11)12)13)15)24)30)</sup>。頭部外傷例のMRIでは、CT上アーチファクトのため検出しにくい頭蓋底部の病変やCTで検出されな

い non-hemorrhagic lesionなどを検出することが可能で、病変の局在や性質を知る上で有用であるとの報告がみられる<sup>5)8)9)12)13)22)24)28)30)</sup>。

これまで我々の施設では、頭部外傷急性期の症例に対してはCTによるスクリーニングを行ってきたが、軽症例では異常所見を必ずしも十分に捉えることができなかった。しかし、MRI導入後、軽症頭部外傷例においても、しばしば異常所見が認められたことから、軽症頭部外傷の急性期例におけるCTとMRI所見を比較し、MRIの有用性について検討したので報告する。

### 対象および方法

1987年3月より1988年9月までに当施設を受診し、受傷より72時間以内にCTおよびMRIを施行し得た軽症頭部外傷（GCS 9から15点まで）154例を対象とした。年齢は生後2か月から85歳で、平均32.6歳、男性100例、女性54例であった。GCSの内訳は15点127例、14点20例、13点5例、10点1例、9点1例であった。受傷時に意識消失を伴った症例は154例中77例（50.0%）で、受傷後記憶喪失を認めた症例は154例中56例（36.4%）であった。

使用したMRI装置は三洋社製永久磁石型MRI SNR-15P 0.15Tで、パルス系列としては、T1強調画像（以下T1WI）の場合TR500msec/TE40msecまたはTR600msec/TE40msecのスピノ・エコー法（以下SE500/40またはSE600/40）を用い、T2強調画像（以下T2WI）としてTR2000msec/TE80msecのスピノ・エコー法（以下SE2000/80）を用いた。撮像はaxial像とし、スライス厚は10mmであった。各症例における撮像数はT1WIではOM lineより10mm毎のgapをおき、SE500/40で3スライス、SE600/40で5スライスとし、T2WIでは連続12スライスとした。撮像に要する時間はT1WIの場合SE500/40では4.3分、SE600/40では5.2分で、T2

WIでは17.3分であった。アベレージ回数はおのおの2回とした。また、CT scannerはSiemens社製Somatom 2を使用し、スライス厚8mmで約12スライスを撮像した。1スライスのスキャンに要した時間は10秒であった。

### 結果

154例中CTまたはMRIにて外傷に基づく異常所見を示した症例は58例（33.7%）で、そのうちCTおよびMRIでともに異常所見を示したものは34例（22.1%）、MRIのみで異常所見を示したものは20例（13.0%）、CTのみで異常所見を示したものは4例（2.6%）であった（Table 1）。なお、CTおよびMRIでともに異常所見を認めなかつたものは96例（62.3%）であった。CTのみ異常と判定された4症例では受傷当日のCTにて軽度のくも膜下出血（subarachnoid hemorrhage以下SAH）またはpneumocephalusを認めたが、翌日のCTでSAHおよびpneumocephalusが消失し、2日目に施行されたMRIでは結果的にSAHおよびpneumocephalusを検出することができなかつた。

CTまたはMRIにて認められた異常所見の中で、外傷に起因すると考えられる頭蓋内病変の総数はCT上92病変、MRI上128病変であった。その内intracerebral traumatic lesionがCT上38病変、MRI上77病変、SAHがCT上32病変、MRI上30病変、その他のextracerebral lesionがCT上22病変、MRI上21病変であった（Table 2）。ただし、今回の検討では、MRI（T2WI）において脳内に認められたhighまたはlow intensity area（以下HIAまたはLIA）もしくはCT上脳内に認められたhighまたはlow density area（以下HDAまたはLDA）をintracerebral traumatic lesionとした。intracerebral traumatic lesionはCTでは38病変、MRIでは77病変で、CTでは認められない39（50.6%）のintracerebral

Table 1 Number of patients with intracranial traumatic lesions on CT and MRI

	MRI	
	positive	negative
CT		*
	34	4
negative	20	96

\*: subarachnoid hemorrhage or pneumocephalus on Day 0-CT

Table 2 Numbers of intracranial traumatic lesions detected with CT and MRI

lesion	CT	MRI
intracerebral traumatic lesions	38	77
subarachnoid hemorrhage	32	30
others*	22	21
total	92	128

\*others: subdural hematoma, epidural hematoma, pneumocephalus.

traumatic lesion を MRI にて検出することが可能であった。しかし、SAH や extracerebral hematoma などにおける CT および MRI の検出能には差を認めなかった。

Intracerebral traumatic lesion を認めた39例77病変について CT および MRI の病巣検出能を比較検

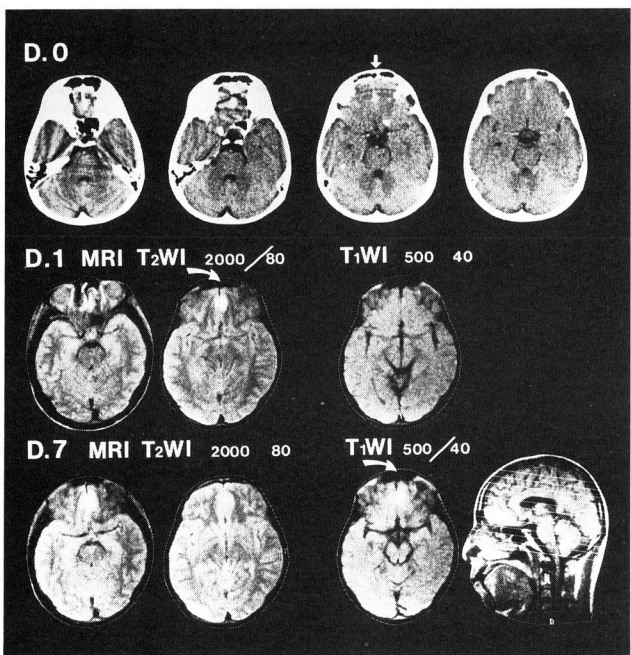
Table 3. Number of patients with intracerebral traumatic lesions on CT and MRI

intracerebral	MRI	
	positive	negative
CT	15(38)	0(0)
	negative	24(39)

( ) : number of lesions

討すると、CT および MRI でともに病変が認められたのは15例38病変、MRI のみで認められたのは24例39病変、CT のみで認められたものはなかった (Table 3)。

このように intracerebral traumatic lesion のうち 50.6% は MRI のみで認められ、しかも CT および MRI でともに認められた lesion は、CT より MRI において明瞭に認められたり、MRI 上の病巣の拡がりが CT よりも大きいなど、MRI による病巣の検出能が CT よりも優れていることが判明した。以下代表例を呈示する。



## 症 例

(a) まず MRI における病巣が CT よりも明瞭に認められた 2 症例を呈示する。

〈症例 1〉 35歳、男性 (Fig. 1)

本例は転倒し後頭部を打撲し当科受診となった。CT では interhemispheric fissure に SAH を認めたが、artifact のため前頭蓋底部の病変は不明瞭であった。翌日の MRI では同部は T 1 WI にて iso-intensity であったが、T 2 WI にて HIA を呈し、intracerebral traumatic lesion として明瞭に捉えられた。第 7 病日の MRI にて同部は T 1 WI および T 2 WI でともに HIA を呈し、hemorrhagic lesion と考えられたが、CT では同病変を明瞭に捉えることができなかった。

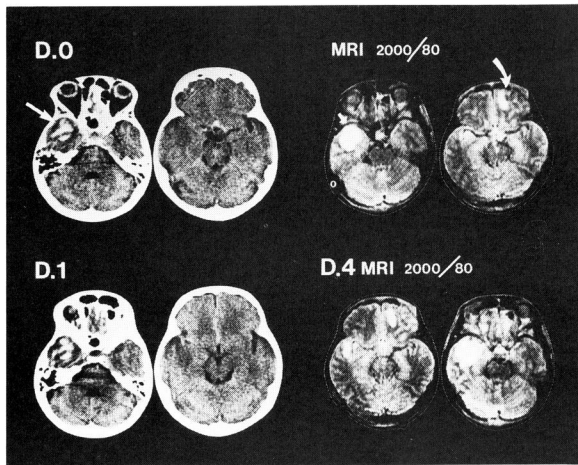
〈症例 2〉 62歳、女性 (Fig. 2)

本例は風呂場で転倒して後頭部を強打し、意識消失を伴い当科へ搬入された。CT 上左側頭葉の脳挫傷および lt sylvian and interhemispheric fissures に SAH を認めたが、右前頭葉には病巣は認められなかつた。一方同日に施行された MRI では右前頭葉に明瞭な traumatic lesion が認められた。この lesion は翌日の CT においても認められなかつたが、その後の follow up CT にて LDA として出現した。

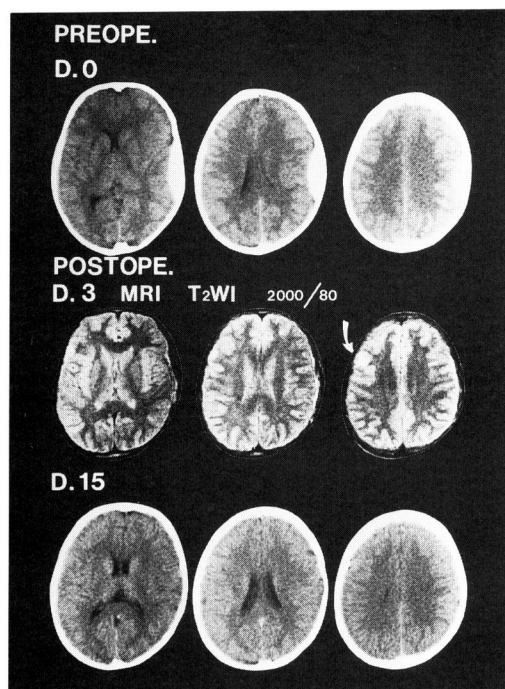
(b) つぎに intracerebral traumatic lesion が MRI にて認められたが CT では認められなかつた 3 症例を呈示する。

〈症例 3〉 14歳、女性 (Fig. 3)

Fig.1 Case 1 : CT scan demonstrated subarachnoid hemorrhage in the interhemispheric fissure, but a lesion of the frontal lobe base was not clear because of bony artifact on Day 0. T 2 weighted image revealed high intensity area in the bilateral frontal lobe base, but T 1 weighted image did not demonstrate those lesions on day 1. Both T1 weighted image and T 2 weighted image on day 7 demonstrated those lesions as high intensity area indicating intracerebral traumatic lesions with hemorrhagic component, but those lesions were not shown on serial CT (not presented) .

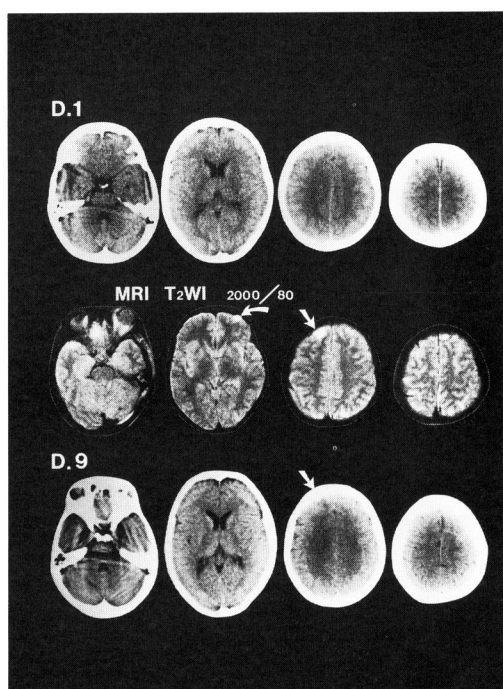


**Fig.2** Case 2 : CT scan demonstrated contusional hematoma in the left temporal lobe and subarachnoid hemorrhage in the left sylvian and interhemispheric fissures, but T 2 weighted image revealed intracerebral traumatic lesion in the right frontal lobe on Day 0, CT scan on Day 1 did not demonstrate right frontal lesion, but this lesion was shown as low density area on serial CT (not presented) .



**Fig.3** Case3 : CT scan demonstrated epidural hematoma in the right temporo-parietal region, this hematoma was evacuated surgically on day 0. T 2 weighted image on Day 3 revealed intracerebral traumatic lesion in the left frontal lobe. This lesion was not demonstrated on serial CT.

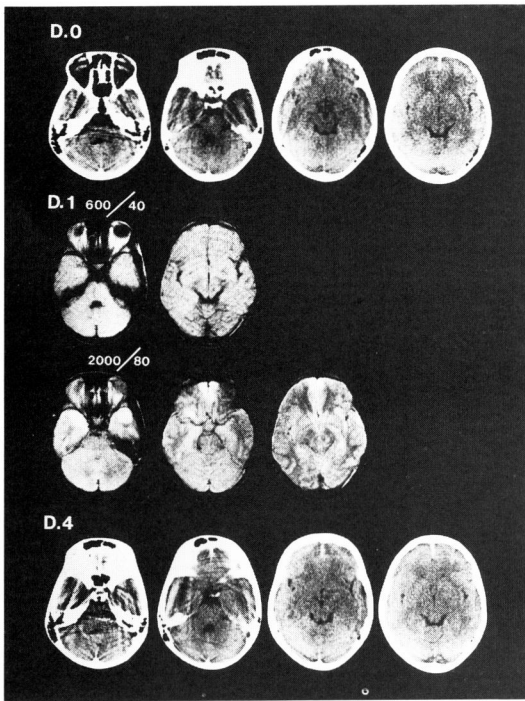
本例は交通外傷にて意識消失を伴い当科に搬入された。CT にて右側頭頭頂部に急性硬膜外血腫を認め同日開頭術にて血腫除去が行なわれた。翌日のCT では脳内に異常を認めなかつたが、第3病日のMRI T2WIにて左前頭葉にtraumatic lesion が出現した。しかし、その後のfollow up CT にて同病変の出現は捉えられなかつた。



**Fig.4** Case4 : CT scan demonstrated subarachnoid hemorrhage in the left sylvian fissure, T 2 weighted image revealed intracerebral lesions in the bilateral frontal lobes on day 1 . Serial CT demonstrated high density area in the left frontal lobe, but no lesion in the right frontal lobe.

#### 〈症例4〉 41歳、女性 (Fig.4)

症例は交通外傷による意識障害にて当科に搬入された。CT 上 lt sylvian fissure に SAH を認めたが、翌日の CT においても cerebral contusion の出現は認めなかつた。しかし、第1病日の MRI T 2 WI にて両側前頭葉に多数の traumatic lesion を認めた。尚、その後の follow up CT では左前頭葉に HDA と



**Fig.5** Case5 : CT scan on Day 0 demonstrated only subarachnoid hemorrhage in the interhemispheric fissure, T 2 wighted image on Day 1 revealed intracerebral traumatic lesions in bilateral frontal and temporal lobes. CT scan on Day 4 demonstrated low density area in the right temporal lobe, but other lesions were not shown on serial CT.

して contusional area を認めたものの、右前頭葉には traumatic lesion の出現はみられなかった。

#### 〈症例 5〉 36歳、女性 (Fig. 5)

本例は階段から転落し後頭部を打撲した症例である。CT にて interhemispheric fissures に SAH を認めるのみであったが、同日の MRI T 2 WI にて両側前頭葉および側頭葉に traumatic lesion を認めた。これらの intracerebral traumatic lesion のうち、右側頭葉の lesion は CT 上 LDA として出現したが、他の lesion は後日の follow up CT においても捉えることができなかった。

以上の結果より CT と MRI を比較すると、MRI は CT では十分に捉えることができない intracerebral traumatic lesion をも検出することが可能で、軽症頭部外傷例のスクリーニングとして MRI の有用性が示された。

#### 考 察

頭部外傷患者の頭蓋内病変に対する検査法としては感受性や特異性が高いこと、治療方針の決定に際して有用な解剖学的情報を提供すること、正確な予後の判定が可能であること、また簡便で安全に検査が施行できることなどの条件を満たすものが望ましい<sup>10)</sup>。これまで外傷性頭蓋内病変の診断に際しては主に CT が用いられ、大きな役割を果たしてきた<sup>7)18)29)31)</sup>が、必ずしも十分な診断法とは言い難い。

特に急性期においては臨床症状と CT 所見に discrepancy を認めることが多く<sup>18)19)20)21)30)</sup>、巣状が存在しても、これに関連する病巣を必ずしも検出することができなかった。また、剖検や病理学的検索によつても CT 診断は神経外傷に対し比較的感度が低いといわれてきた<sup>2)6)</sup>。特に CT では小さな non-hemorrhagic lesion の検出能が低いが、その理由としてはこれらの lesion と正常脳組織の X 線減衰の差が小さいために、コントラストが付きにくいことによる考え方られている<sup>10)</sup>。したがって CT 診断のみでは non-hemorrhagic lesion が検出されにくいため、脳の障害の拡がりが確認されないまま、治療方針が決定される場合がある<sup>10)</sup>。CT は頭蓋内血腫除去などの外科的治療を決定するには有用であるが<sup>7)18)29)31)</sup>、予後の判定には不十分で、その場合には臨床症状に頼らざるを得ない<sup>24)30)</sup>。

近年 MRI の普及により、MRI は CT よりもあらゆる外傷性病変の検出能が高いとの報告がみられるようになった<sup>8)9)10)11)12)13)15)19)22)24)27)28)30)31)</sup>。硬膜下水腫や慢性硬膜下血腫なども CT 上 isodensity を示すものは造影剤を使用すると検出可能とされているが<sup>3)16)</sup>、MRI では脳表とのコントラストがより明瞭で容易に診断可能である<sup>12)22)27)</sup>。また限局性の急性硬膜外血腫や急性硬膜下血腫で頭蓋底部や後頭蓋窓に局在するものは、CT では検出できないことがあるが、MRI では骨の artifact を受けず、組織感受性が

高く、任意の断層像が得られるため高率に検出が可能であると言わわれている<sup>5)9)24)</sup>。さらに Han ら<sup>12)</sup>は MRI 上、両血腫を識別するためには flow void phenomenon にて描出される superficial cerebral vein や rim of low signal intensity として描出される dura matter が指標になるとしている。

Intracerebral traumatic lesionに関しては、最近、超伝導型MRIによる検出能をCTと比較検討し、MRIの有用性が報告されるようになった<sup>10)11)13)15)24)30)</sup>。Hesselink ら<sup>13)</sup>は17例における98の brain contusion について検討しているが、MRIにおける検出能は 98% であるのに対し、CTにおけるそれは56%で MRIは明らかに CTより brain contusionの検出能が高いとしている。しかし、hemorrhagic component を伴うものでは CTにおける検出能は77%であるのに対し、MRI のそれは71%とむしろ CTの方がわずかに検出能が高いと報告している。そしてCTは急性期頭部外傷に有用であるが、MRIは亜急性期や慢性期の頭部外傷患者に対するスクリーニングに適していると結論している。Gentry ら<sup>10)</sup>は40例の頭部外傷患者に対し prospective にCTと MRI を施行し、traumatic lesion の検出能を検討しているが、hemorrhagic lesion ではCTおよびMRIはともに検出率が高いが、non-hemorrhagic lesion ではMRIが明らかに検出率が高く、病巣の検出には T2 WI が有用で、T1 WI は解剖学的局在を知る上で有用であるとしている<sup>11)</sup>。しかし、SAH に関してはむしろ CTの方が検出能が高い<sup>24)</sup>と報告している。また、CT は検査時間が短いため、早急に外科的治療を必要とする患者においては CT の方が有用である<sup>13)30)</sup>としている。一方 Kelly ら<sup>15)</sup>は CT および MRI の施行された100例の頭部外傷患者について retrospective に検討し、MRI は CT より病巣の検出能が高いが、acute hemorrhagic lesion ではむしろ CT の方が検出能が高かったことから、急性期軽症頭部外傷や亜急性期、慢性期の患者には MRI が施行されるべきであるが、急性期重症頭部外傷例に対しては、まず、CT を施行すべきであるとしている。

今回我々は永久磁石型 MRI を用いて、軽症頭部外傷の急性期例を検討した結果、MRI の撮像時に患者が restless であったり、嘔吐したりした場合には若干の制約を受けるものの<sup>28)</sup>、MRI は CT よりも脳内病変の検出能が高く有用であると考えられた。特に MRI にて検出された intracerebral traumatic lesion の内50.6%は CT にて異常所見を捉えることができず、MRI は明らかに CT よりも病変の検出能が

高く、軽症頭部外傷例に対しては MRI によるスクリーニングが必要であると考えられた。超伝導型 MRI では SAH の検出能がCTより劣るとする報告<sup>10)24)</sup>がみられるが、低磁場である永久磁石型の MRI では T2WI において髄液は relative HIA を示し、SAH は明瞭な HIA を呈することから、その判別はむしろ容易であり、SAH の検出能は CT と同程度と考えられた。また、MRI のみで検出された病変の多くは non-hemorrhagic lesion であり、この様な病変の検出に際し MRI 特に T2 WI は CT より優れていると考えられた<sup>10)11)13)15)24)</sup>。一方、MRI によって得られた情報により手術適応が決められることはなかったが、保存的治療を行う上での指標として有用<sup>10)30)</sup>と考えられた。これまで MRI は亜急性期や慢性期の頭部外傷患者における病巣の検索や評価には有用であるが、急性期の患者においてはむしろ CT が有用であるとする報告<sup>13)24)30)</sup>がみられるが、軽症例に限れば急性期においても MRI の方が有用と考えられた。また、MRI では T1WI と T2WI の経時的検討より浮腫や hemorrhagic lesion の staging などに関する情報が得られるため<sup>8)13)14)17)22)27)30)</sup>、traumatic lesion の病理組織学的変化の検討に際しても有益な情報を与えるものと考えられた。

## 結 論

- 1) 軽症頭部外傷154例を対象とし、受傷より72時間以内に CT および MRI を施行し、急性期における MRI の有用性について検討した。
- 2) 受傷より72時間以内の MRI にて intracerebral traumatic lesion の所見が認められた77病変(39例)中、39病変(24例)(50.6%)では、同時期の CTにて異常所見が捉えられなかった。
- 3) CT および MRI でともに intracerebral traumatic lesion を認めた38病変(15例)では、MRI においてより明瞭な lesion が捉えられた。
- 4) CT で検出することが可能であった intracerebral traumatic lesion 38病変(15例)は MRI で検出できた77病変(39例)のうちの49.4%相当と全体の半数程度しかなく、急性期頭部外傷例における intracerebral traumatic lesion の診断においては、MRI が CT よりも病変の検出能が高く有用と考えられた。
- 5) 今後、頭部外傷例の治療および経過観察などに際して、MRI によるスクリーニングが必要であると考えられた。
- 6) MRI による intracerebral traumatic lesion は全

てT2WIにおいて捉えられ、T1WIのみで検出される例はなかったが、T1WIとT2WIの経時的検討は外傷による脳挫傷、浮腫、出血、shearing injuryなど脳内に生ずる病理組織学的变化の解明に役立つと考えられた。

## 文 献

- 1) 安里令人, 伊藤春海, 藤沢一朗, 中野善久, 烏塚莞爾, 半田 鞏: 脳血管障害MR画像診断の初期経験. 日獨医報 30: 599-613, 1985
- 2) Adams JH, Graham DI, Murray LS, Scott G : Diffuse axonal injury due to non-missile head injury in humans : an analysis of 45 cases. Ann Neurol 12 : 557-563, 1982
- 3) Amendola MA, Ostrum BJ : Diagnosis of isodense hematomas by computed tomography. Am J Roentgenol 129 : 693-697, 1977
- 4) Brant-Zawadzki M, Davis PL, Drooks LE, Mills CM, Norman D, Newton TH, Sheldon P, Kaufman L : NMR demonstration of cerebral abnormalities : Comparison with CT. AJNR 4 : 117-124, 1983
- 5) Bydder GM, Steiner RE, Young IR, Hall AS, Thomas DJ, Marshall J, Pallis CA, Legg NJ : Clinical NMR imaging of the brain : 140 cases. AJNR 3 : 459-480, 1982, AJR 139 : 215-236, 1982
- 6) Cooper PR, Maravilla K, Kirkpatrick J, Moody SF, Sklar FH, Diehl J, Clark WK : Traumatically induced brain stem hemorrhage and the computerized tomographic scan : Clinical, pathological, and experimental observations. Neurosurgery 4 : 115-124, 1979
- 7) French BN, Dublin AB : The value of computerized tomography in the management of 1000 consecutive head injuries. Surg Neurol 7 : 171-183, 1977
- 8) 福田 修, 佐藤秀次, 鈴木 尚, 遠藤俊郎, 高久 晃: 頭部外傷例におけるMRI所見の検討—経時的变化およびX線CTとの比較—CT研究 10:411-416, 1988
- 9) Gandy SE, Snow RB, Zimmerman RD, Deck MDF : Cranial nuclear magnetic resonance imaging in head trauma. Ann Neurol 16 : 254-257, 1984
- 10) Gentry LR, Godersky JC, Thompson B, Dunn VD : Prospective comparative study of intermediate-field MR and CT in the evaluation of closed head trauma. AJNR 9 : 91-100, 1988
- 11) Gentry LR, Godersky JC, Thompson B : MR imaging of head trauma : Review of the distribution and radiopathologic features of traumatic lesions. AJNR 9 : 101-110, 1988
- 12) Han JH, Kaufman B, Alfidi RJ, Yeung HN, Benson JE, Haaga JR, Yousef SJE, Clampitt ME, Bonstelle CT, Huss R : Head trauma evaluated by magnetic resonance and computed tomography : A comparison. Radiology 150 : 71-77, 1984
- 13) Hesselink JR, Dowd CF, Hajek P, Baker LL, Luerssen TG : MR imaging of brain contusions : A comparative study with CT. AJNR 9 : 269-278, 1988
- 14) 稲尾意秀, 古瀬和寛, 佐生勝義, 吉田和雄, 茂木禱昌, 金桶吉起, 井沢 章: 頭部外傷例におけるプロトン緩和時間値T1の経時的变化とその意義. Neurol Med Chir 27 : 1039-1045, 1987
- 15) Kelly AB, Zimmerman RD, Snow RB, Gandy SE, Heier LA, Deck MDF : Head trauma : Comparison of MR and CT-Experience in 100 patients. AJNR 9 : 699-708, 1988
- 16) Kim KS, Hemmati M, Weinberg PE : Computed tomography in isodense subdural hematoma. Radiology 128 : 71-74, 1978
- 17) Langfitt TW, Obrist WD, Alavi A, Grossman RI, Zimmerman R, Jaggi J, Uzzell B, Reivich M, Patton DR : Computerized tomography, magnetic resonance imaging, and positron emmision tomography in the study of brain trauma. Preliminary observations. J Neurosurg 64 : 760-767, 1986
- 18) Lanksch W, Grumme T, Kazner E : Correlations between clinical symptoms and computerized tomography findings in closed head injuries. In : Frowein RS, Wilcke D, Karimi-Nejad A, Brock M, Klinger M, eds. Advances in neurosurgery. Vol5 : Head injuries. Tumors of the cerebellar region. Berlin : Springer-Verlag, 27-29, 1978
- 19) Levin HS, Handel SF, Goldman AM, Eisenberg HM, Quinto FC : Magnetic resonance imaging after diffuse nonmissile head injury. A neurobehavioral study. Arch Neurol 42 : 963-968, 1985
- 20) Levin HS, Amparo E, Eisenberg HM, Williams DH, High WM, Mcardle CB, Weiner RL : Magnetic resonance imaging and computerized tomography in relation to the neurobehavioral sequelae of mild and moderate head injuries. J Neurosurg 66 : 706-713, 1987
- 21) Perrone P, Porazzi D, Ricotta E, Secchi P, Rovetta P : Brain contusion in minor cranial trauma. Ital J Neurol Sci 6 : 43-45, 1985
- 22) Sipponen JT, Sepponen RE, Sivula A : Chronic subdural hematoma : Demonstration by magnetic resonance. Radiology 150 : 79-85, 1984
- 23) Sipponen JT, Sepponen RE, Tanttu JI, Sivula A : Intracranial hematomas studied by MR imaging at 0.17 and 0.02T. J Comput Assist Tomogr 9 : 698-704, 1985
- 24) Snow RB, Zimmerman RD, Gandy SE, Deck MDF : Comparison of magnetic resonance imaging and computed tomography in the evaluation of head injury. Neurosurgery 18 : 45-52, 1986
- 25) Spetzler RF, Zabramski JM, Kaufman B : Clinical role of magnetic resonance imaging in the neurosurgical patient. Neurosurgery 16 : 511-524, 1985
- 26) 多田信平, 関谷 透, 畑 雄一, 山口 学: 核磁気共鳴画像—その診療の状況—臨放 29 : 741-751, 1984
- 27) Young IR, Bydder GM, Hall AS, Steiner RE, Worthington BS, Hawkes RC, Holland GN, Moore WS : Extracerebral collections : Recognition by NMR imaging.

- AJNR 4 : 833-834, 1983
- 28) 横山俊一, 中村克己, 山本征夫, 藤元登四郎, 岡田明彦,  
朝倉哲彦, 井形昭弘:頭部外傷例のNMR-CT像について.  
CT研究 6 : 639-644, 1984
  - 29) Zimmerman RA, Bilaniuk LT, Gennarelli T : Computed  
tomography of shearing injuries of the cerebral white  
matter. Radiology 127 : 393-396, 1978
  - 30) Zimmerman RA, Bilaniuk LT, Hackney DB, Goldberg HI,  
Grossman RI : Head injury : Early results of comparing  
CT and high field MR. AJNR 7 : 757-764, 1986
  - 31) Zimmerman RD, Danziger A : Extracerebral trauma.  
Radiol Clin North Am 20 : 105-121, 1982